

также, что значения  $\alpha_p$  в собственной области не могут превышать соответствующих значений в примесной области, поэтому  $\alpha_{\text{эфф}} = \alpha_n$ .

В отличие от  $n$ -InSb [6] в области примесной проводимости не наблюдалось корреляции между величиной  $\alpha$  и концентрацией примеси (подвижностью дырок), а также между величиной  $\alpha$  и толщиной образцов. Не обнаружено и изменения  $\alpha$  при старении поверхности образцов. Это указывает на объемный характер источников шума  $1/f$ . Более того, в работе [3] показано, что значительного изменения уровня шума  $1/f$ , связанного с поверхностью, можно добиться путем облучения образца светом с энергией фотонов, несколько превышающей энергию, соответствующую ширине запрещенной зоны. В исследуемых в настоящей работе образцах при облучении их от источника типа «абсолютно чёрное тело» с температурой  $600^\circ\text{C}$  изменение  $S_U/U^2$  находилось в пределах погрешности измерений, хотя сопротивление уменьшалось на  $1-3\%$ . Если все же предположить, что шум  $1/f$  обусловлен процессами, происходящими на поверхности, то аналогично работе [1] можно рассмотреть эквивалентную схему, в которой шумящее поверхностное сопротивление  $R_s$  включено параллельно с нешумящим объемным  $R_v$  и  $R_s \gg R_v$ . В этом случае  $S_U/U^2$  должно одинаковым образом изменяться с изменением  $\rho^2$ , что не соответствует экспериментальным результатам (рис. 2).

Таким образом, в области примесной проводимости, наиболее интересной с точки зрения практического применения, шум  $1/f$  в  $p$ -InSb вызывается процессами, происходящими в объеме, и уровень этого шума, приходящийся на одну дырку, значительно выше уровня шума, приходящегося на один электрон.

#### Список литературы

- [1] Левинштейн М. Е., Румянцев С. Л. // ФТП. 1983. Т. 17. В. 10. С. 1830—1834.
- [2] Дьяконова Н. В., Левинштейн М. Е. // ФТП. 1989. Т. 23. В. 2. С. 283—291.
- [3] Дьяконова Н. В., Левинштейн М. Е., Румянцев С. Л. // ФТП. 1988. Т. 22. В. 6. С. 1049—1052.
- [4] Гук Е. Г., Дьяконова Н. В., Левинштейн М. Е. // ФТП. 1988. Т. 22. В. 6. С. 1120—1122.
- [5] Kleinpenning T. G. M. // Physica. 1982. V. 112B. N 2. P. 189—194.
- [6] Александров С. А., Гусейнов Н. Я., Каджар Ч. О., Салаев Э. Ю. // ФТП. 1986. Т. 20. В. 8. С. 1549—1551.
- [7] Vande Voorde P., Love W. F. // Phys. Rev. 1981. V. 24. N 8. P. 4781—4786.
- [8] Hooge F. N., Kleinpenning T. G. M., Vandamme L. K. J. // Rep. Prog. Phys. 1981. V. 44. P. 479—532.

Научно-исследовательский  
институт фотоэлектроники  
Баку

Получено 21.08.1989  
Принято к печати 15.12.1989

ФТП, том 24, вып. 5, 1990

#### ВОЛЬТАМПЕРНЫЕ ХАРАКТЕРИСТИКИ ПОТЕНЦИАЛЬНЫХ БАРЬЕРОВ В ГЕТЕРОСТРУКТУРАХ $\text{Cd}_x\text{Hg}_{1-x}\text{Te}/\text{CdTe}$

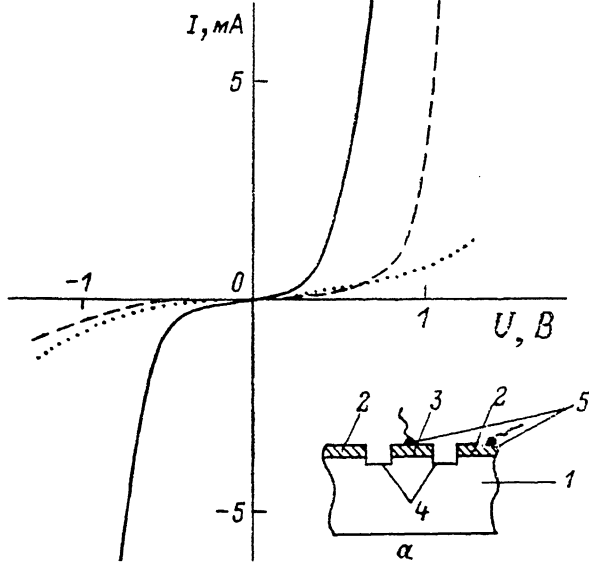
Елизаров А. И., Богобоящий В. В., Белов А. Г.

Известно, что в гетероструктурах на основе  $\text{Cd}_x\text{Hg}_{1-x}\text{Te}$  может возникать потенциальный барьер, обусловленный искривлением энергетических зон в области гетероперехода. В частности, этот эффект наблюдается в сверхрешетках, образованных чередующимися слоями  $\text{HgTe}$  и  $\text{CdTe}$  [1, 2]. Можно ожидать, что такой барьер существует и в эпитаксиальных структурах  $\text{Cd}_x\text{Hg}_{1-x}\text{Te}/\text{CdTe}$ , если толщина переходного слоя достаточно мала. В этом случае он должен проявляться при измерении электрофизических параметров таких структур; например, обедненный носителями заряда слой в области потенциального барьера.

ра может служить своего рода изолятором, разрывающим электрическую связь по току между слоем и подложкой.

В этом сообщении приведены результаты исследования вольтамперных характеристик (ВАХ) потенциального барьера, возникающего в области границы раздела слоя и подложки структур  $\text{Cd}_x\text{Hg}_{1-x}\text{Te}/\text{CdTe}$ .

Нами исследовались эпитаксиальные структуры состава  $x \approx 0.2$  диаметром 2 см, полученные методом жидкокристаллической эпитаксии из обогащенных теллуром растворов-расплавов с последующим отжигом в ненасыщенных парах Hg при  $T \approx 300$  °C. Эпитаксиальные слои в таких структурах имели дырочную проводимость с удельным сопротивлением при  $T = 77$  К  $\rho_e \sim 1$  Ом·см. Толщина слоя ( $d_e$ ) изменялась в пределах 0.02—0.04 мм. Подложки в свою очередь также имели дырочную проводимость; их удельное сопротивление ( $\rho_n$ ) при  $T = 77$  К в исследованной группе структур лежало в пределах от единиц до  $10^6$  Ом·см. Толщина подложек ( $d_n$ ) составляла 0.4—0.5 мм.



Типичные ВАХ гетероструктур  $\text{Cd}_x\text{Hg}_{1-x}\text{Te}/\text{CdTe}$  при  $T = 77$  К.

*a* — схема поперечного разреза гетероструктуры в области тестовой меза-структурь; 1 — подложка; 2 — основная часть эпитаксиального слоя; 3 — рабочая площадка тестовой меза-структурь; 4 — кольцевая канавка; 5 — контакты к слою.

Измерялась ВАХ гетероперехода при  $T = 77$  К, для чего на поверхности эпитаксиальной структуры со стороны слоя изготавливались тестовая меза-структура в виде круглого участка слоя диаметром  $d_m = 1$  мм, отделенного от остальной его части кольцевой канавкой шириной 0.5 мм и глубиной, превышающей толщину слоя на 0.02—0.04 мм (см. рисунок). Точечные индийевые контакты наносились паяльником на рабочую площадку тестовой структуры и остальную часть слоя. Так как рабочая площадка занимает около 0.25% площади всей структуры, а барьер достаточно однороден по электрофизическим параметрам (что проверялось специальным), в этом случае измерялась ВАХ участка барьера площадью  $S_m = \pi d_m^2 / 4$ .

В качестве количественной характеристики электрической связи по току между слоем и подложкой выберем отношение ( $\varepsilon$ ) тока утечки через подложку ( $I_y$ ) к полному току через образец ( $I_0$ ) в случае, когда оба контакта нанесены на односвязный участок слоя. Очевидно, что параметр  $\varepsilon$  непосредственно связан с удельной электропроводностью потенциального барьера, определяемой в зависимости от приложенного к тестовой структуре напряжения ( $U$ ) из ВАХ,

$$\varepsilon(U) = \frac{1}{R_m S_m} \quad (1)$$

(здесь  $R_m = U/I$  — сопротивление меза-структурь).

Будем искать эту взаимосвязь в следующем приближении:

- потенциальный барьер однороден в пределах одного образца;
- полный ток через образец мал, так что удельная электропроводность барьера не зависит от напряжения:  $\sigma_0(U) \approx \sigma_0 = \sigma_0(0)$ ;
- ток утечки мал ( $\epsilon \ll 1$ ) и не влияет на распределение потенциала ( $\varphi$ ) в слое;
- сопротивление барьера велико по сравнению с сопротивлением подложки на участке между контактами.

Для удобства положим  $\varphi_1 = -\varphi_2$  ( $\varphi_1, \varphi_2$  — потенциалы контактов к образцу). Тогда ток утечки в нашем приближении равен

$$I_y = \epsilon \int_{\varphi > 0} \varphi dS, \quad (2)$$

здесь интегрирование ведется по части образца, где  $\varphi > 0$ .

Для конфигурации Ван-дер-Пау (круглый образец радиусом  $r$ , точечные контакты на периферии) распределение потенциала имеет вид

$$\varphi = \frac{I_0 \rho_c}{\pi d_c} \ln \left( \frac{|r_1|}{|r_2|} \right), \quad (3)$$

где  $r_1, r_2$  — радиусы-векторы точки образца относительно kontaktов.

Подставляя (3) в (2), находим

$$\epsilon = \frac{I_y}{I_0} = A \frac{\rho_c \sigma_0 r^2}{\pi d_c}, \quad (4)$$

где буквой  $A$  обозначена безразмерная константа, зависящая от расположения kontaktов:  $A = r^{-2} \int_{\varphi > 0} \ln(|r_1|/|r_2|) dS$ . В том случае, когда kontaktы расположены на концах одного диаметра,  $A \approx 1.26$ .

Сопоставляя (1) и (4), получим условие малости  $I_y$  в виде

$$R_m \gg \frac{A}{\pi} \frac{\rho_c r^2}{d_c S_m}. \quad (5)$$

Для  $\rho_c = 2 \text{ Ом}\cdot\text{см}$ ,  $r = 1 \text{ см}$ ,  $d_c = 0.02 \text{ мм}$ ,  $S_m = 8 \cdot 10^{-3} \text{ см}^2$  находим

$$R_m \gg 5 \cdot 10^4 \text{ Ом}. \quad (6)$$

Следует отметить, что (6) соответствует наиболее жесткому случаю. На практике величину  $R_m$  приходится измерять в области напряжений, где BAX уже заметно нелинейна. Легко видеть, что в этом случае оценка  $I_y$  при помощи соотношения (2) оказывается завышенной.

На рисунке приведены типичные BAX исследованных образцов. Видно, что среди них присутствуют как симметричные, так и явно несимметричные; однако и те, и другие существенно нелинейны, что свидетельствует о наличии потенциального барьера в области гетероперехода. Тем не менее в одном из образцов наблюдалась BAX, линейная в диапазоне напряжений от  $-50$  до  $+50$  В, из чего можно заключить, что барьер существует в большинстве случаев, но не всегда.

Можно ожидать, что параметры барьера будут достаточно однозначно определяться сопротивлением подложки, поскольку параметры слоя довольно жестко фиксированы. В таблице представлены результаты измерения  $R_m$  при  $U = \pm 0.25$  В, а также величины  $\rho_n$ , полученной после удаления слоя (измерение  $\rho_n$  проведено шестиконтактным методом). Видно, что существует строгая корреляция между значениями  $R_m$  и  $\rho_n$ , причем зависимость  $R_m$  от  $\rho_n$  имеет минимум в области  $\rho_n \sim 10^3 \text{ Ом}\cdot\text{см}$ . Обращает на себя внимание то обстоятельство, что тот образец 4, для которого значение  $R_m$  минимально, имеет как раз линейную BAX. Причина этого явления, видимо, кроется в физической природе потенциального барьера, однако имеющихся на сегодня данных недостаточно для ответа на этот вопрос.

Наличие потенциального барьера существенно изменяет подход к проблеме измерения электрофизических параметров эпитаксиального слоя. Если в отсут-

**Электрофизические параметры подложек и эпитаксиальных структур  $Cd_xHg_{1-x}Te/CdTe$  в целом при  $T=77$  К**

№ образца	$\rho_{\pi}$ , Ом · см	$R_m$ , МОМ		$\epsilon$	$Y$
		на мезе «плюс»	на мезе «минус»		
1	7.7	15	13	$1.6 \cdot 10^{-3}$	2.4
2	15	5.2	6.8	$2.8 \cdot 10^{-3}$	0.85
3	28	4.0	4.6	$3.6 \cdot 10^{-3}$	0.46
4	4200	1.2	1.1	$1.3 \cdot 10^{-2}$	$3 \cdot 10^{-3}$
5	$3 \cdot 10^5$	17	3.3	$6.0 \cdot 10^{-3}$	$5 \cdot 10^{-5}$
6	$8 \cdot 10^5$	23	14	$7.6 \cdot 10^{-4}$	$1 \cdot 10^{-5}$
7	$>10^6$	$>100$	$>100$	$<10^{-4}$	$<10^{-5}$
8	$>10^6$	$>100$	$>100$	$<10^{-4}$	$<10^{-5}$

ствие барьера отношение тока утечки через подложку к току через слой ( $I_v$ ) равно

$$Y \equiv \frac{I_v}{I_c} \approx \frac{\rho_c d_\pi}{\rho_\pi d_c}, \quad (7)$$

то наличие барьера, включенного последовательно с подложкой, может существенно уменьшить это отношение. В таблице приведены значения параметров  $\epsilon$  и  $Y$  для исследованных образцов. Видно, что даже для низкоомных подложек, когда  $Y \geq 1$ , выполняется условие  $\epsilon \ll 1$ , что позволяет пренебречь влиянием подложки на электрофизические свойства структуры в целом при малых токах, протекающих через структуру.

Таким образом, потенциальный барьер, присутствующий в эпитаксиальных структурах  $Cd_xHg_{1-x}Te/CdTe$  в области гетероперехода, весьма эффективно изолирует слой от подложки в случае малых токов. Это свойство может оказаться крайне полезным в практическом отношении при измерении электрофизических параметров слоя методом Ван-дер-Пау или аналогичным ему.

#### Список литературы

- [1] Bratt P. R., Casselman T. N. // J. Vac. Sci. Techn. 1985. V. A3. N 1. P. 238—245.  
[2] Madarsz F. L., Szmulowicz F. // J. Appl. Phys. 1987. V. 62. N 8. P. 3267—3277.

Государственный научно-исследовательский  
и проектный институт  
недкогородской промышленности  
Москва

Получено 19.07.1989  
Принято к печати 20.12.1989

*ФТП, том 24, вып. 5, 1990*

#### ФОТОАКУСТИЧЕСКАЯ МИКРОСКОПИЯ ЭПИТАКСИАЛЬНЫХ КРЕМНИЕВЫХ СТРУКТУР

Булах Г. И., Бурбело Р. М., Гуляев А. Л., Кучеров И. Я.

Метод неразрушающего контроля материалов и изделий микроэлектроники, основанный на генерации тепловой волны оптическим излучением и регистрации возникающих при этом термоупругих колебаний, начинает находить все большее применение в технологии полупроводниковых приборов. Это связано с тем, что новая методика, получившая название фотоакустической (ФА) микроскопии, обладает рядом преимуществ по сравнению с традиционными методами исследования, имеющими ограничения в области визуализации микрообъек-